

炭素鋼과 스텐레스鋼의 腐蝕舉動의 差異點에 対한 電氣化学的 研究

文 廉 萬

韓國海洋大學 防蝕研究室

A Electrochemical Study for Difference of Corrosion Behaviors
 of Carbon Steel and Stainless Steel.

K. M. Moon

Corrosion Laboratory, Korea Maritime University

The variations of corrosion potentials and polarization behaviors affecting corrosion current density of carbon steel and stainless steel were investigated in NaCl and H₂SO₄ solution. When corrosion potentials shifted to negative direction with submerged time in NaCl solution, corrosion current density was slightly decreased in carbon steel while was gradually increased in stainless steel. Therefore it is considered that corrosion potentials of stainless steel are determined by activation polarization of reduction reaction of dissolved oxygen, on the other hand carbon steel's corrosion potential are determined by concentration polarization of it. These two steels showed different behaviors from each other also in H₂SO₄ solution on the variations of corrosion potentials and polarization behaviors according to concentration of H₂SO₄ solution.

Eventually it is suggested that in carbon steel the corrosion behavior is controlled by polarization and depolarization reaction of cathode while in stainless steel its behavior is controlled by those of anode both in NaCl and H₂SO₄ solution.

1. 서 론

지난 호에서는 分極曲線과 腐蝕電位가 炭素鋼의 腐蝕速度에 미치는 影響을, 酸性과 中性溶液에 대해서 考察해 보았다. 즉 分極曲線의 타펠外揮法과 重量減少法에 의해 腐蝕速度를 評價하고 이들의 結果와 腐蝕電位의 相互関連性에 대해서 檢討하였다.¹⁾ 本研究에서는 스텐레스鋼을 中心으로 中性溶液에서의 腐蝕速度에 미치는 拡散界限電流密度와 腐蝕電位变化등을 考察하고, 또한 이들의 結果와 腐蝕性이 強한 炭素鋼의 경우와 比較検討하였다.

一般的으로 中性溶液에서의 腐蝕速度는 溶存酸素

의 拡散에 因해서支配되기 때문에 腐蝕電位와는 無關하다고 說明하고 있으며,²⁾ 또한 腐蝕電位를 變化시키는 原因에 대해서는 檢討結果가 있으나³⁾ 中性溶液에서의 鋼의 種類에 따른 分極舉動과 腐蝕舉動의 差異點, 다시 말해서 腐蝕速度와 腐蝕電位의相互關係에 대한 具體적인 実驗結果에 대해서 筆者は 接하지 못했다. 따라서 이들의 상관관계에 대해서 実驗結果를 토대로 스텐레스鋼과 炭素鋼을 比較考察하고, 아울러 酸性溶液에서 濃度變化에 따른 腐蝕電位와 腐蝕電流의 관계에 대해서도 考察하였다. 以上的 研究結果는 스텐레스鋼과 炭素鋼의 溶

液에 따른腐蝕電位와腐蝕速度의相互關係를定性的으로評價하는데 있어 다소의参考資料가 되리라期待된다.

2. 試験片 및 実験方法

本実験에 使用된 試験片은 마르텐사이트系의 S US410 (Cr : 17%, C : 0.145%), 페라이트系의 SU S430 (Cr : 18%, C : 0.11%), 오스테나이트系의 SU S316 (Cr : 17%, Ni : 11.5%, C : 0.07%, Mo : 2.5%) 및 SUS 316L (Cr : 17%, Ni : 15%, Mo : 2.9%, C : 0.29%), 그리고一般構造用 炭素鋼 SS41鋼 (C : 0.35%, Mn : 0.69%)이다.

組織이 다른 스텐레스鋼을 使用한 것은組織에 따른腐蝕速度와腐蝕電位의相互關係를比較検討하고 응력부식균열과水素脆化의 관계에 대해서도 검토하기 위한 것이다. 그리고 SS41鋼은中性溶液에서 스텐레스鋼보다는腐蝕速度가크므로分極挙動과腐蝕挙動의差異点을 쉽게 구별하기 위해서使用하였다. 試験片은面積1cm²로연마지1000番까지 균일하게연마하고아세톤으로脱脂하였다.腐蝕電位는浸漬10分後(0.17h)에測定하였고腐蝕電流密度는모두陽極分極曲線에서타펠外揮法으로구하였다. 단,陽極 및陰極分極曲線의掃引速度는0.3V/min이다. 그리고교반에의한腐蝕電位의變化를考察할 때의stirring bar(d:10mm l:40mm)의회전속도는約200rpm이었다. 특히本実験의경우,浸漬後一定時間이지났을때그때의腐蝕電位와腐蝕速度를구하고다시試験片을연마하여浸漬할 때는,浸漬직후의腐蝕電位가항상일정한값을가질수있도록試験片의表面狀態에주의했으며,뿐만아니라中性solution의경우溶液의流動이腐蝕에미치는影響을고려하여모든實験條件등을같이하는데주의를기울였다. 그리고酸性solution에서의濃度變化에 따른検討는teflon holder⁴⁾에固定해서実験하였다. 試験溶液은염화나트륨溶液을0.1%, 1%, 10%順으로濃度의變化를주었고酸性solution의경우에는98%의1級황산을이용해서조제한5, 10, 20, 30, 40, 45, 50, 60, 70, 80, 90, 95, 98%의13종이었으며試験時의溶液temperature는15±1°C이었다.

3. 実験結果 및 考察

3-1 中性溶液에서의 炭素鋼과 스텐레스鋼의 分極挙動과腐蝕挙動

Fig. 1은 10%염화나트륨溶液에서SUS410鋼 및 SS41鋼의陽極,陰極分極曲線을 나타내고 있다. 그림에서 알 수 있듯이 두種의鋼은 모두陽極分極曲線에서는타펠의直線식이 나타나고 있으며타펠外揮法에의한腐蝕電流密度는스텐레스鋼의0.8μA/cm²에비추어SS41鋼은約20μA/cm²의높은높은값을나타내었다. 그런데中性solution에서陰極反応이溶存酸素의還元反応일 경우陰極分極曲線에서腐蝕電流密度를구할때分極曲線上의拡散限界電流密度를腐蝕電流密度로써評價하는경우도있다.⁵⁻⁶⁾ 그러나비록陰極反応이溶液酸素의還元反応일지라도鋼의種類에따라서는腐蝕電位가溶存酸素의活性化分極상태에서혹은濃度分極상태에서형성될경우도있을것이다. 특히스텐레스鋼의경우陽極分極에의해서支配된다고説明하고 있으나⁷⁻⁸⁾炭素鋼과比較検討하지는 않았다.

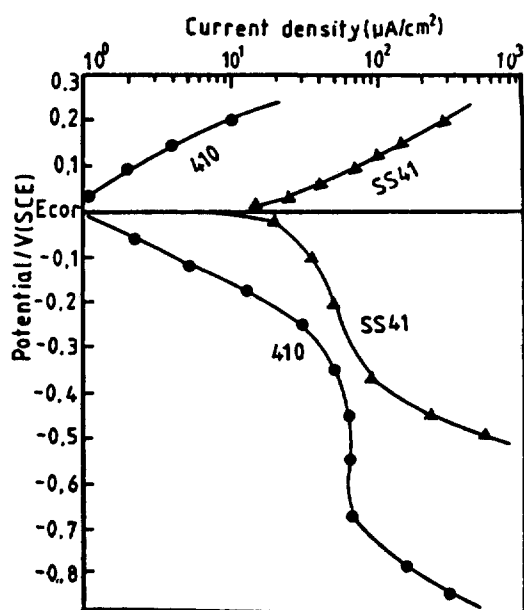


Fig. 1 Potentiodynamic polarization curves of SUS 410 and SS41 steel in 10% NaCl solution.

本実験에서 浸漬10分後の SS41鋼의 腐蝕電位가 約 -560mV(SCE)임에 비추어 SUS410鋼은 約 -250mV(SCE)로 SUS 410강이 약 300 mV 극한 전위를 나타냈다.

그리고 Fig. 1의 陰極分極曲線에서 SS41鋼은 活性化分極보다는 濃度分極이 支配하고 곧 바로 評算한계전류밀도가 나타나고 있음에 비추어 SUS410鋼은 腐蝕電位로 부터 約 20 μ A/cm²까지 溶存酸素의 還元反応에 따른 活性化分極이 나타나고 20 μ A/cm²以後부터 서서히 濃度分極이 나타나다가 評算한계전류밀도로 변하고 있음을 알 수 있다. 以上의 結果에서 SS41鋼은 腐蝕電位가 溶存酸素의 濃度分極상태에서 형성되며 腐蝕速度는 溶存酸素의 還元反応에 따른 扩散支配이며, SUS410鋼은 溶存酸素의 活性化分極상태에서 腐蝕電位가 형성되며 腐蝕速度는 溶存酸素의 還元反応에 따른 濃度分極보다는 陽極分極에 따른 陽極支配임을 미루어 생각할 수 있을 것이다. 따라서 陰極分極曲線에서 腐蝕電流密度를 구하는 경우 炭素鋼에서는 評算한계전류밀도로써 상대적인 腐蝕速度를 評價할 수 있으나 스텐레스鋼의 경우는 活性化영역에서 타펠外揮法에 의해서 評價하는게 바람직하다고 생각되어진다.

Fig. 2는 浸漬時間에 따른 評算한계전류밀도와 부식전류밀도의 变化를 보여주고 있다. SS41鋼은 浸漬시간이 길어짐에 따라서 評算한계전류밀도와 부식전류밀도가 함께 적어지는 傾轡을 나타내고 있다. 그런데 SUS410鋼은 浸漬시간에 따라서 逆으로增加하는 것을 알 수 있다. SS41鋼은 浸漬시간이 길어짐에 따라서 表面의 腐蝕生成物이 酸素拡散을 防害할뿐 아니라 扩散層의 시간에 따른 肥大함에 의해 評算한계전류밀도와 부식전류 밀도가 함께 감소하는 것으로 料되며, SUS410鋼은 初期의 腐蝕電位가 強한 酸化皮膜에 의해 溶存酸素의 活性化分極상태에서 형성되었기 때문에 時間의 경과에 따른 扩散層의 영향이나 腐蝕生成物의 影響보다는 오히려 염소이온에 의한 皮膜의 破壞에 따른 陽分極의 減少에 의해서 腐蝕速度는 점차 증가하는 것으로 생각되어진다. 지금까지 炭素鋼과 스텐레스鋼의 時間의 变化에 따른 評算한계전류밀도와 부식전류밀도의 相互關係를 分極曲線을 中心으로 考察해 보았다. 이들의 관계를 확실히 알기 위해서는 腐蝕

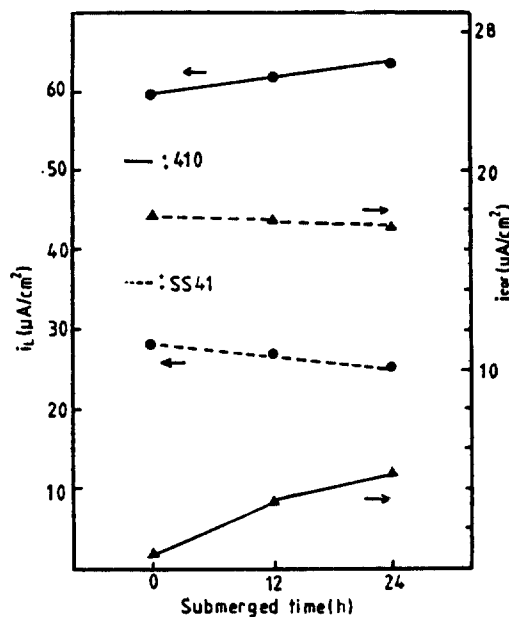


Fig. 2 Variations of diffusion limited current density and corrosion current density as a function of submerged time in 10% NaCl solution.

電位의 時間의 变化와 腐蝕速度의 相互關係에 대해서도 檢討할 必要가 있다고 생각되어진다. Fig. 3은 침지시간에 따른 부식전위의 变化와 그때의 부식전류밀도의 变化를 보여주고 있다. SS41鋼은 침지시간이 길어짐에 따라 腐蝕電位는 卑한 方向으로 移動하고, 이때의 腐蝕電流密度變化는 점차 적어지는 傾轡을 보이고 있다. 그러나 SUS410鋼은 腐蝕電位는 SS41鋼과 똑같이 卑한 方向으로 移動하나 腐蝕電流密度變化는 점차 증가하는 경향을 나타내고 있다. 이처럼 腐蝕電位는 다음과 같이 卑한 方向으로 움직이고 있음에도 불구하고 腐蝕電流密度는 反對 현상을 나타내고 있음에 대해서, Fig. 1, 2에서도 炭素鋼과 스텐레스鋼의 差異點을 언급했으나 나중의 Fig. 8에서 다시 討論하기로 한다.

Fig. 4는 염화나트륨溶液의 濃度變化에 따른 浸漬時間과 腐蝕電位의 관계를 나타내고 있다. SS41鋼은 全濃度에 걸쳐서 침지시간에 따라 부식전위는 卑한 값으로 이행하고 있음에 비추어, SUS410鋼은 10%의 溶液에서는 卑한 값으로 이행하나 1%의 경우에는 卑한 方向으로 이행의 정도가 10%에 비

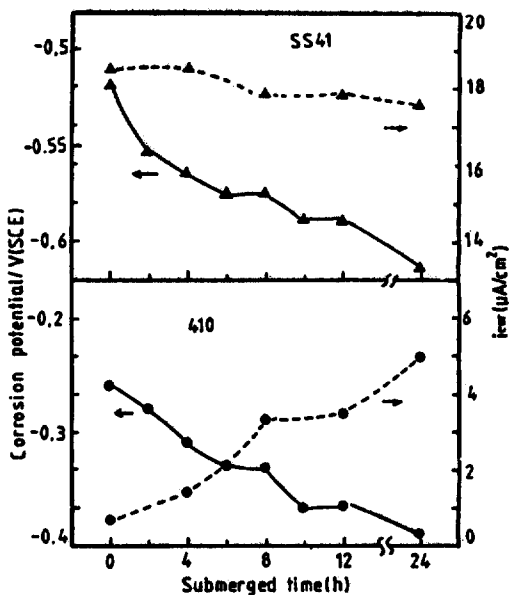


Fig. 3 Relation between corrosion potential and corrosion current density in 10% NaCl solution.

해서 적었으며 0.1%에서는 오히려 貴한 方向으로 이동하고 있음을 알 수 있다. 결국 溶液의 농도가 높을 수록 염소 이온에 의한 皮膜의 破壊와 함께 陽極分極의 減少⁹⁾에 의해서 부식전위는 卑한 方向으로 이행함과 함께 부식속도는 增加하는 것으로思料되어지나, 濃度分極狀態에서 腐蝕電位가 형성되는 SS41鋼과 같은 炭素鋼은 비록 염소이온에 의해서 피막의 파괴를 가져오지만 酸素의 還元反応이 陰極反応으로써 같은 속도로 일어나지 않는 한 腐蝕速度는 增加하지 않을 것이다.¹¹⁾ 그러나 스텐레스鋼의 경우에는 앞에서도 언급했듯이 強한 酸化膜에 의한 陽極支配상태에서 腐蝕電位가 형성됨으로 염소이온에 의한 피막의 파괴는 부식전위를 卑한 方向으로 이행시킴과 동시에 부식속도를 증가시키는 경향이 있음을 Fig. 3의 결과로 알 수 있을 것이다.

本 実験의 경우 SUS410鋼에서는 10%의 경우가 가장 부식속도가 크며 0.1%의 경우에는 염소이온에 의한 피막의 파괴보다 오히려 補修力이 強해서 부식전위는 貴한 값으로 이동하고 부식속도역시 감소하고 있는 것으로思料되어 진다. Borbosa¹⁰⁾는 스텐레스鋼이 질산용액에서 腐蝕電位가 貴한 方向으로 이행함에 따라 孔蝕에 대한 저항성을 增加시

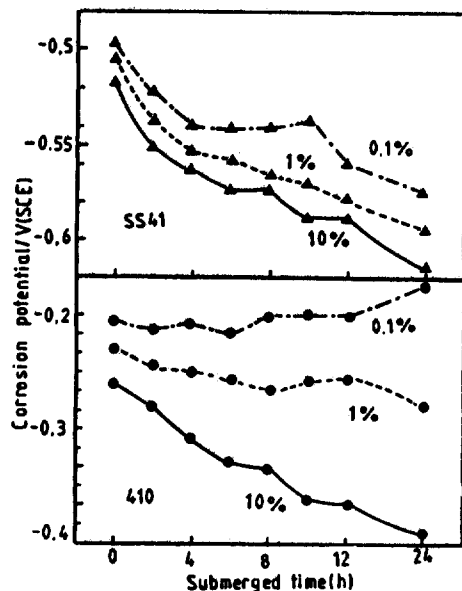


Fig. 4 Variations of corrosion potential with NaCl concentrations as a function of submerged time

킨다고 했으며 Johnson¹¹⁾등은 腐蝕電位의 貴方向의 移動은 陽極反応의 大少에 起因하며 不動態電流를 감소시킨다고 지적하고 있다. 이들의 결과는 本 実験의 結果에 대한 説明과 共通點을 発見할 수 있다고 생각되어 진다.

지금까지 腐蝕電位의 時間的變化와 이때의 腐蝕電流密度의 變化에 대해서 檢討 했다. 특히 Fig. 3에서 炭素鋼의 경우 腐蝕電位가 卑한 方向으로 이동한다고 해서 스텐레스鋼처럼 腐蝕電流密度가 增加하지는 않았다. 그러나 浸漬10分後의 腐蝕電位와 이때의 腐蝕電流密度와의 관계를 Fig. 5에 나타내고 있는데, 浸漬10分後의 腐蝕電位가 卑한 方向으로 이동함에 따라 腐蝕電流密度는 增加하는 것을 알 수 있다. 이와같이 浸漬10分後의 腐蝕電位와 腐蝕速度는 相互関連성이 있다고 생각되어 진다. 따라서 부식속도에 미치는 腐蝕電位를 變化시키는 因子는 여러측면에서 생각할 수 있겠으나 그 중에서도 특히 시험편의 表面狀態가 큰 影響을 미치리라 생각되어 진다. Fig. 6은 시험편의 표면상태가 부식전위에 미치는 영향에 대해서 나타내고 있다. SS41鋼은 センドペイ퍼100番으로 연마했을 경우와 1000番 까지 연마했을 경우, 浸漬직후 約80mV의 電位差가

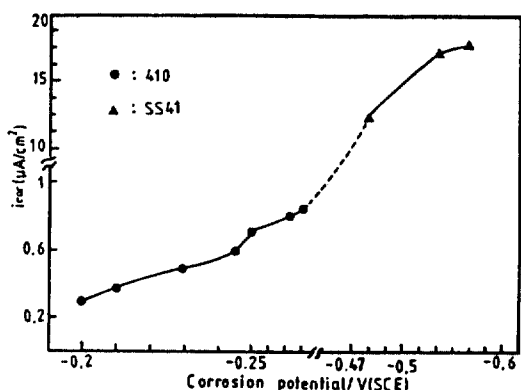


Fig. 5 Relation between corrosion potential (calculated after 10 minutes when test specimen was submerged) and corrosion current density in 10% NaCl solution.

있었고 10分後에는 約50mV의 差가 있었다. 한편 SUS316鋼은 침지直后50mV, 10分後에는 約10mV의 電位差가 있었다. 어느鋼이든 표면상태가 부식전위에 미치는 영향을 排除할 수 없으나 炭素鋼의 경우가 스텐레스鋼보다 그 影響이 현저하게 크다는 사실을 알수 있었다. 그리고 中性溶液에서는 교반을 하면 부식속도가 증가한다는 사실은 一般的의 概念으로 받아들여지고 있다. 따라서 炭素鋼과 스텐레스鋼의 경우 溶液의 교반에 따른 부식전위의 변화를 비교함으로써, 이들의 腐蝕挙動에 대해서 比較検討하는데 參考가 되리라 기대된다. Fig. 7은 SUS316鋼과 SS41鋼을 침지 10分後 교반을 실시하여 그때의 腐蝕電位變化를 考察하였다. SS41鋼은 침지10分까지 卑한 値을 유지하다가 교반을 시작함과 동시에 -550mV에서 -460mV의 貴한 値으로 변하여 거의 일정한 電位를 유지하였다. SUS316鋼은 침지10分부터 교반을 실시하였으나 급격한 腐蝕電位의 變化가 없었고 교반시작후 10分이 경과했을 때 約10mV의 卑한 值을 나타내었다. 결국 SS41鋼은 부식전위가 溶解酸素의 농도분극상태에서 형성되었기에 교반과 함께 확산층의 붕괴 및 용존산소량의 증가등에 의해서 貴한 値으로 변하였고, SUS316鋼은 腐蝕電位가 용존산소의 활성화분극상태에서 형성되었기 때문에 교반의 영향은 거의 없고 오히려 염소이온에 의한 파막의 파괴와 함께 부

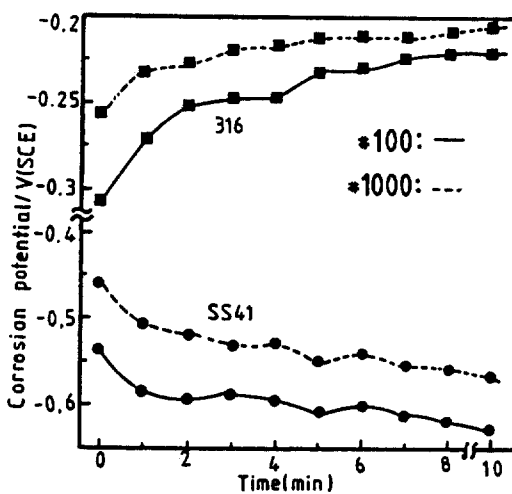


Fig. 6 Variations of corrosion potentials with surface roughness degree (sand paper numbers) in 10% NaCl solution.

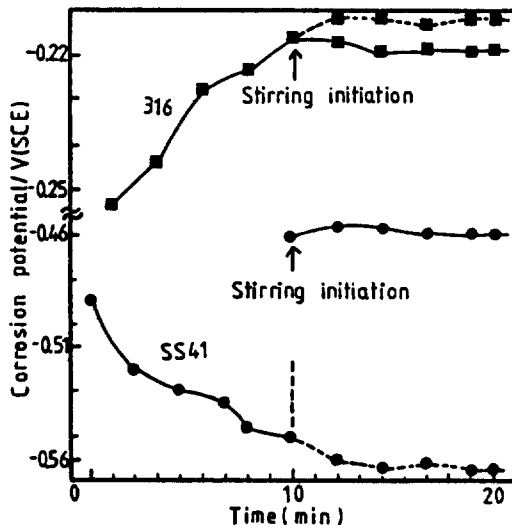


Fig. 7 Variations of corrosion potentials with static and dynamic condition of 10% NaCl solution.

식 전위는 卑한 値으로 이행하였다고 생각되어진다. Fig. 8은 지금까지의 実驗結果를 토대로 SS41鋼과 SUS410鋼의 内部分極曲線과 그때의 腐蝕電位를 나타내고 있다. 앞에서도 언급했듯이 炭素鋼과 스텐레스鋼은 中性溶液에서의 腐蝕電位의 형성이나 腐蝕을 지배하는 反応이 相異함을 알 수 있었다.

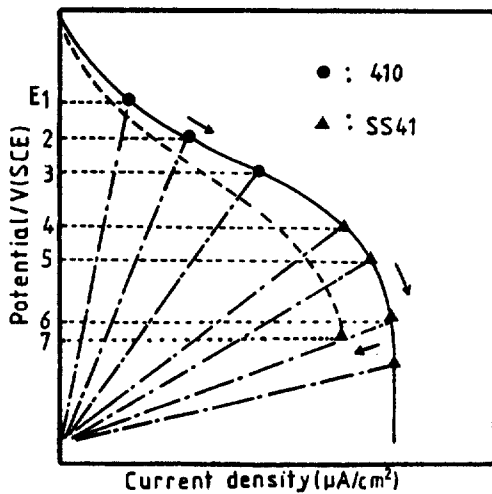


Fig. 8 Schematic diagram of internal polarization curves indicating the variations of corrosion potentials.

즉 炭素鋼은 腐蝕電位가 溶存酸素의 농도분극상태에서 형성되며 (E_4, E_5, E_6, E_7) 스텐레스鋼은 용존산소의 활성화분극상태에서 형성됨을 (E_1, E_2, E_3) 알 수 있다. 따라서 스텐레스鋼의 경우에는 腐蝕電位가 E_1, E_2, E_3 로 卑한 방향으로 이동함에 따라 腐蝕電流密度는 增加하고 (Fig. 3 참고) 炭素鋼에서는 腐蝕電位가 E_4, E_5, E_6 로 이동함에 따라 다소 증가되기도 하나 (Fig. 5 참고) 浸漬時間이 한동안 경과한 후에는 오히려 E_7 의 부식전위가 형성됨에 따라 부식전류밀도는 감소하기도 한다. (Fig. 3 참고) 그리고 교반을 할 경우나 용존산소의 농도가 많아지면 부식전위는 E_7 에서 E_6 로의 貴方向으로 이동하면서 부식전류밀도는 다시 증가하는 것으로 사료되어 진다.

3 - 2 스텐레스鋼의 腐蝕電流密度에 미치는 扩散限界電流密度와 腐蝕電位의 变化

스텐레스鋼은 원래 炭素鋼보다 耐蝕性이 우수하므로 중성용액에서의 腐蝕举动이 탄소강의 경우와 相異함을 알았다. 그런데 스텐레스강의 相互間에組織이 다르거나 혹은 염화나트륨溶液의 농도가 변할 경우 이들이 腐蝕速度에 미치는 影響에 대해서検討하여 보았다.

Fig. 9는 염화나트륨용액의 濃度变化에 따른 扩散

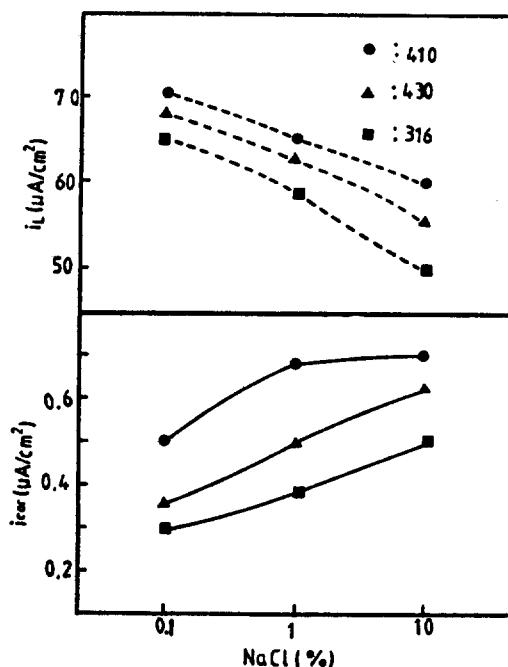


Fig. 9 Relation between corrosion current density and diffusion limited current density with variations of NaCl concentration.

限界電流密度와 腐蝕電流密度의 变化를 3種의 스텐레스鋼에 대해서 나타내고 있다. 3종의 鋼 모두 같은 溶液의 濃度에서는 扩散限界電流密度와 腐蝕電流密度는 모두 SUS316, 430, 410順으로 增加함을 알 수 있었다. 그런데 용액의 농도가 0.1%에서 점차 10%로 증가함에 따라 부식전류밀도는 3종의 鋼 모두 증가하고 있으나 확산한계전류밀도는 오히려 적어지고 있음을 알 수 있다. 陰極反応으로 作用하는 溶存酸素의 還元反応에 따른 活性化分極은, 表面의 皮膜의 破壊가 심할수록 表面積이 增加하고, 또한 거칠어진 表面은 分極을 減少시키는 큰 触媒能을 가짐으로써 減少하게 된다.¹²⁾ 따라서 分極曲線上的 濃度分極은 상대적으로 빨리 일어나기 때문에結果的으로 확산한계전류밀도는 부식전류밀도와 逆으로 적어진다고 생각되어진다.

Fig. 10은 10%의 염화나트륨용액에서 침지시간에 따른 腐蝕電位의 变化를 보여주고 있으며 Fig. 11은 침지시간에 따른 부식전류밀도의 变화를 보여주고 있다. 침지시간이 길어짐에 따라 SUS400, 430

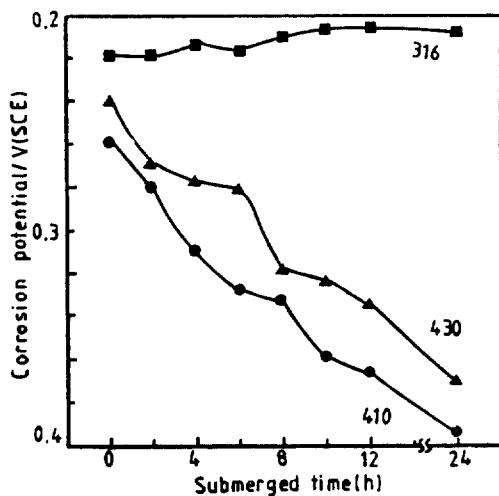


Fig. 10 Variations of corrosion potentials as a function of submerged time in 10% NaCl solution.

鋼은 腐蝕電位가 卑방향으로 이행하고 있으며 同時에 부식전류밀도는 증가하고, SUS316鋼은 침지시간에 길어짐에 따라 부식전위는 오히려 貴방향으로 이행하고 부식전류밀도는 감소하고 있음을 알 수 있다. Fig. 10, 11의 결과에서 스텐레스鋼의 경우 腐蝕電位와 腐蝕速度는 밀접한相互關係가 있음을 알 수 있으며, 3種의 鋼중에서 SUS410鋼이 부식이 가장 크며 316鋼이 가장 적음을 알 수 있다. 一般的으로 스텐레스鋼의 경우 組織 및 成分에 따라 부식속도 혹은 SCC와 HE등에 미치는 영향에 대해서 여러가지 說이 있다. 예를 들면 오스테나이트系中에서는 Mo을 添加함으로써 耐蝕性이 向上된다는 說이 있으며,¹³⁻¹⁵ 질산용액에서는 오히려 有害하다는 結果도 있다.¹⁶ 또한 오스테나이트系는 페라이트系에 비해서 HE에 대해서는 感受性이 적지만¹⁷⁻¹⁸ SCC에 대해서는 感受性이 크다는 결과도 있다.¹⁹⁻²⁰ 그리고 오스테나이트系 일자라도 成分에 따라서는 페라이트系보다 오히려 SCC에 대한 感受性이 적다는 說도 있다.²¹ 스텐레스鋼의 SCC는 高溫高圧의 荷重下腐蝕性 환경에서 일어나는 경우가 많다. 따라서 이들의 환경에서 페라이트系는 孔蝕과 같은 局部腐蝕보다는 오히려 全面腐蝕이 일어나기 쉬우므로 SCC感受性이 적으나 오스테나이트系는 耐蝕性이 페라이트系에 비해서 크기때문에 염화물등에 의해서 局部腐蝕의 発生에 의해서 오히려 SCC의

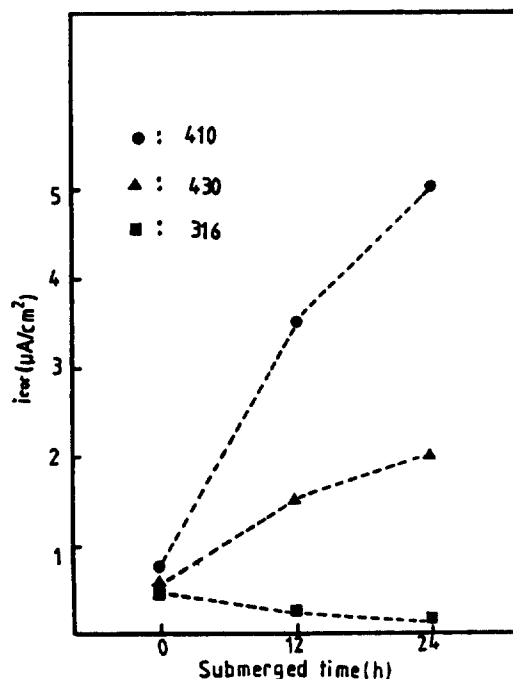


Fig. 11 Variations of corrosion current density as a function of submerged time in 10% NaCl solution.

感受性이 크다고 생각되어 진다²¹)

本 実驗의 結果에서 오스테나이트系의 316鋼이 페라이트系의 430鋼보다 염화나트륨용액에서의 부식속도는 적었다. 따라서 부식속도의 大少와 SCC의 感受性에 대한 大少의 関係에 대해서는 全面腐蝕과 局部腐蝕의 概念과 差異點을 알아둘 필요가 있다고 생각되어 진다.

3-3 高濃度 酸性溶液에서의 炭素鋼과 스텐레스鋼의 腐蝕電位와 腐蝕電流密度와의 関係

Fig. 12는 黃酸溶液의 濃度變化에 따른 腐蝕電位와 腐蝕電流密度变化의 관계를 나타내고 있으며, Fig. 13은 Fig. 12와 外部分極曲線을 參考하여 나타낸 内部分極曲線이다. 그림에서 알 수 있듯이 SS 41鋼은 草酸용액의 농도가 45%까지는 腐蝕電位가 貴方向으로 이행하면서 腐蝕電流密度는 증가하였고 45%以上에서는 腐蝕電位는 계속해서 貴方向으로 이동하였으나 腐蝕電流密度는 급격히 감소하였고 50%에서 98%까지는 큰 값의 差異는 없으나 계속해서 減少하는 傾向을 보였다.

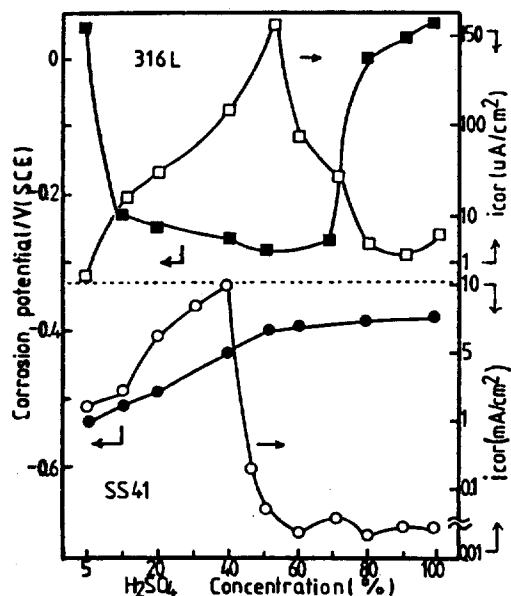


Fig. 12 Relation between corrosion potential and corrosion current density with the variations of H_2SO_4 concentration.

그리고 SUS316L鋼은 約 50%까지 腐蝕電位는 계속 卑方向으로 이행하면서 부식전류밀도는 증가하였으나 50%이상에서는 부식전위는 다시 貴方向으로 이행하면서 부식전류밀도는 감소하였다. Fig. 12의結果에서 알 수 있듯이 炭素鋼과 스텐레스鋼은 黃酸溶液에서의 腐蝕舉動도 서로 相異함을 생각할 수 있다. SS41鋼은 45%의 溶液까지는 초기에 陰極支配에서 시작하여 溶液의濃度가 클수록 水素發生反応을促進하여 陰極復極 즉 混合支配형식으로 변하면서 부식전위는 貴方向으로 (Fig. 13의 1, 2, 3) 이행함과 동시에 부식전류밀도는 증가하고, 45%이상의 溶液에서는 貴한 酸化, 還元電位(水素平衡電位가 높게됨)와 함께 큰 陰極還元電流가 不動態化限界電流를 넘어 不動態영역으로 들어가게 됨으로써 부식전류밀도는 부식전위의 貴한 値 (Fig. 13의 4)과 함께 감소하는 것으로 思料되어 진다. 한편 SUS316L鋼은 50%溶液까지는 陰極反応의 水素發生反応보다 처음 陽極支配에서 시작하여 용액의 농도가 클수록 陽極復極반응이促進되어 부식전위는 卑方向 (Fig. 13의 1, 2, 3)으로 이동하면서 부식전류밀도는 증가하고, 50%이상의 용액에서는 표면에서 강한 酸化物의 형성에 의해

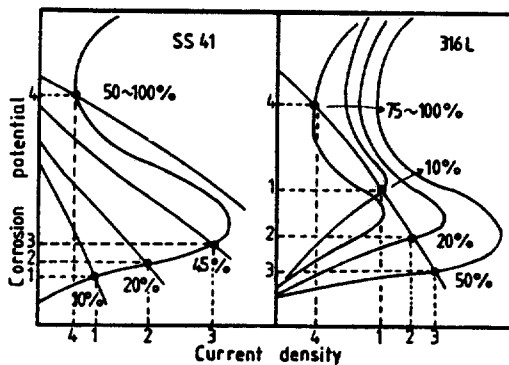


Fig. 13 Schematic diagram of internal polarization curves indicating the variations of corrosion potentials with H_2SO_4 concentration.

腐蝕이 柳制되는 다시 말해서 陽極分極의 增加와 함께 腐蝕電位는 다시 貴한 값으로 이동하게된다 (Fig. 13의 4). 그리고 부식전류밀도는 부동태영역으로 이동함으로써 감소하는 것으로 思料되어 진다. 이들의 結果를 인히비타의 作用과 관계시켜보면, SS41鋼의 경우 陰極復極型不動態化剤를 SUS316L鋼의 경우에는 陽極柳制型不動態化剤를 添加한 경우와 類似한 것으로 생각되어 진다.²²⁾ 그런데 염산용액에서의 스텐레스鋼은 용액의 농도가 클수록 腐蝕電位는 계속해서 卑방향으로 이행하면서 부식전류밀도는 증가하는結果²³⁾와 비교할때 同種의 鋼이라도 용액의 種類에 따라서는 腐蝕舉動이 달라짐도 예측할 수 있으리라 생각된다. 그러나 염산용액에서도 부식을 支配하는 反応은 陽極反応의 分極 또는 復極에 의해서 일어난다는 사실은 分明하다고 생각되어 진다.

4. 결 론

지금까지 中性과 酸性溶液에서 炭素鋼과 스텐레스鋼의 腐蝕速度에 미치는 腐蝕電位와 分極舉動에 대해서 考察해 보았다. 그 결과 다음과 같은 사실을 알 수 있었다.

- 1) 중성용액에서 탄소강과 스텐레스鋼의 경우 침지시간에 따라 다같이 腐蝕電位가 卑방향으로 이동했을 때 腐蝕電流密度는 탄소강의 경우 점차減少하는 경향이 있으나 스텐레스강은 점차 증가하는 경향이 있었다.

2) 중성용액에서 탄소강은 용존산소의 환원반응에 따른 농도분극상태에서, 스텐레스강은 용존산소의 활성화분극상태에서 腐蝕電位가 형성된다. 따라서 탄소강은 부식속도를 지배하는 반응이 용존산소의 화산에 起因함에 비추어 스텐레스강은 양극반응의 분극의 大少에 의해서 지배되고 있음을 알 수 있다.

3) 황산용액에서 탄소강은 용액의 농도가 높을수록 음극반응이 촉진되어 부식전위를 貴방향 즉 활성태에서 부동태역으로 이동시켰으며 부식전류밀도는 활성태역에서 증가, 부동태역에서는 감소하였다. 한편 스텐레스강은 양극반응이 촉진되어 부식전위를 활성태역에서는 卑방향, 부동태역에서는 貴방향으로 이동시켰고 부식전류밀도 역시 활성태역에서는 증가, 부동태역에서는 감소하였다.

4) 1), 2), 3)의 결과를 整理하면 산성과 중성용액에서 탄소강은 陰極反応의 分極과 復極, 스텐레스강은 陽極反応의 分極과 復極이 腐蝕電位를 卑 또는 貴방향으로 이동시킴과 동시에 腐蝕速度를 支配한다고 생각되어 진다.

参考文献

1. 문경만, 김기준, 김진경 : 韓國腐蝕学会誌, 17, 2, 90 (1988)
2. 伊藤伍郎 : 腐蝕科学と防食技術 : コロナ社 p. 111 (1982)
3. 前掲書(2), p. 52
4. 전대희, 전중석, 백태실 : 韓國腐蝕学誌 17, 1, 11 (1988)
5. 北村義治 : 防食技術の実際, 日刊工業新聞社, p. 12 (1978)
6. L. L. Shreir, PhD, FRIC, FIM, FICORRT, TINMF "CORROSION," Vol. 1, p. 98, NEWNES-BUTTERWORTHS, LONDON, 1979
7. 松田誠吾, 松島巖 : 腐食反応とその制御 産業図書, p. 110 (1980)
8. 柴田俊夫 : 腐食と酸化, 産業図書, p. 108 (1983)
9. 前掲書(8), p. 100
10. M. A. Barbosa : Corrosion Sci., 23, 1293 (1983)
11. Ray Johnson and Einar Bardal : Corrosion 41, 296 (1985)
12. 前掲書(8), p. 45
13. M. B. Rockel : Corrosion, 29, 393 (1973)
14. J. R. Ambrose : Corrosion, 34, 27 (1978)
15. R. K. Dayal and J. B. Ganamoorthy : Corrosion, 36, 433 (1980)
16. 腐食防食協会 : 防食技術便覧, 日刊工業新聞社, p. 271 (1986)
17. 野村茂雄, 長谷川正義 : 日本金属学会報, 15, 563 (1976)
18. 長谷川正義, 大沢基明 : 防食技術, 29, 463 (1980)
19. 原田憲二 : 防食技術, 26, 721 (1977)
20. 小若正論 : 日本金属学会報, 17, 657 (1978)
21. 小若正論 : 金属の腐食損傷と防食技術 アグネ, p. 355 (1983)
22. 間宮富士雄 : 腐食抑制剤と應用技術 横書店, p. 7 (1977)
23. 전대희, 전중석, 백태실 : 韓國腐蝕学会誌, 17, 27 (1988)